

京都大学工学部 正員 工博 石原藤次郎  
 京都大学大学院 正員 工修 今木博健  
 京都大学大学院 学生員 ○山本弥四郎

一般的に乱れの測定において、乱れそのものを測定の対象とすることは實際上不可能であつて、ゆえに測定するのは乱れと離連をもつ何らかの現象であるといえよう。したがつて、たゞ一回転式流速計によって乱れ計測を行なう場合、乱れに対する流速計の追随性が問題となり、また、データの処理にあたつては測定時間スケールの影響について吟味することが必要である。本報告は、前報<sup>(1)(2)</sup>に引き続き、測定時間スケールについて理論的に考察するとともに、回転式流速計と差圧式流速計を併用することによって、回転式流速計の乱れに対する追随性を明らかにしようとするものである。

### 1. 測定時間スケールの影響について

流速変動が周期的な場合を取り上げ、流速  $u(t)$  がつきのように表わされるとして

$$u(t) = \bar{u} + u'(t) = \bar{u} + u_0 \sin 2\pi t/T. \quad (1)$$

ここに、 $\bar{u}$  は平均流速、 $u_0$  は流速変動の振幅、 $T$  は流速変動の周期である。いま、測定開始時間まで  $t_s$ 、測定時間スケールを  $t_*$ 、総測定時間を  $T = n t_*$  とすると、 $i$  番目の乱れの測定値  $u'(t_i)_{mes}$  は、 $t_s + (i-1)t_*$  から  $t_s + it_*$  までの  $u'(t)$  の時間的平均であるから、

$$u'(t_i)_{mes} = \frac{1}{t_*} \int_{t_s + (i-1)t_*}^{t_s + it_*} u'(t) dt = \frac{1}{t_*} \int_{t_s + (i-1)t_*}^{t_s + it_*} u_0 \sin 2\pi \frac{t}{T} dt = \frac{u_0 t_*}{\pi t_*} \sin \frac{\pi t_*}{T} \sin \frac{\pi(2t_s + (2i-1)t_*)}{T}. \quad (2)$$

となる。したがつて、 $\bar{u}^2$  の測定値  $\bar{u}_{mes}^2$  は、

$$\bar{u}_{mes}^2 = \frac{1}{n} \sum_{i=1}^n u'(t_i)_{mes}^2 = \frac{1}{n} \sum_{i=1}^n \left[ \frac{u_0 t_*}{\pi t_*} \sin \frac{\pi t_*}{T} \cdot \sin \frac{\pi(2t_s + (2i-1)t_*)}{T} \right]^2 \quad (3)$$

一方、 $\bar{u}^2$  は、

$$\bar{u}^2 = \frac{1}{T} \int_0^T u^2(t) dt = \frac{1}{T} \int_0^T \left\{ \bar{u} + u_0 \sin 2\pi \frac{t}{T} \right\}^2 dt = \frac{\bar{u}^2}{2} \quad (4)$$

であるから、 $\bar{u}_{mes}^2 / \bar{u}^2$  はつきのように表わされることになる。

$$\frac{\bar{u}_{mes}^2}{\bar{u}^2} = 2 \left( \frac{t_*}{\pi t_*} \right)^2 \sin^2 \frac{\pi t_*}{T} \cdot \frac{1}{n} \sum_{i=1}^n \sin^2 \frac{\pi(2t_s + (2i-1)t_*)}{T}. \quad (5)$$

(5)式から  $\bar{u}_{mes}^2 / \bar{u}^2$  についてつきのことことが結論される。

(i). 総測定時間  $T$  は、 $t_*$  が未知の場合には大きい方がよいが、 $t_*$  が既知の場合には、 $t_*/t_0 \times n$  が  $1/2$  の整数倍となるようにべきとすると、 $n$  を十分大きくとったときと同等になる。

(ii). 測定開始時間  $t_*$  の影響を明らかにするため、 $t_*/t_0 = 0.1, 0.3, 0.5$  の3ケースについて  $t_*$  を変化させたときの  $\bar{u}_{mes}^2 / \bar{u}^2$  の値が図1に示されているが、 $t_*/t_0 < 1/2$  の場合、 $t_*$  の影響は無視しきるほど小さくなる。

(iii).  $n$  を (ii) のようにとると、 $t_s = 0$  としたとき、各種の  $t_*/t_0$  と  $\bar{u}_{mes}^2 / \bar{u}^2$  の関係を図2に

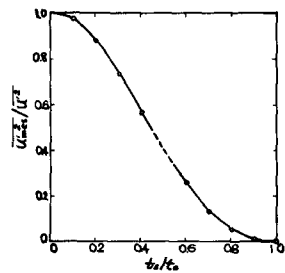
示したが、この図から、測定時間スケールを変動周期の1/10程度にとれば、 $\overline{U'^2}_{mes}$ はあおよそ $\overline{U'^2}$ に等しくなることわかる。

流速変動が不規則な変動をする場合における測定時間スケールの影響は、つぎのようにして求められる。

前と同じ記号を用いて、

$$U'(t_s)_{mes} = \frac{1}{t_s} \int_{t_s + (-i)t_*}^{t_s + i t_*} U'(t) dt = \frac{1}{t_*} \int_0^{t_*} U'(t_s + (i-1)t_* + t) dt$$

図・1



図・2

(a)

であるから、

$$\begin{aligned} \overline{U'^2}_{mes} &= \frac{1}{n} \sum_{i=1}^n U'^2(t_i)_{mes} = \frac{1}{n} \sum_{i=1}^n \left\{ \frac{1}{t_*} \int_0^{t_*} U'(t_s + (i-1)t_* + t_i) dt_i \right\} \left\{ \frac{1}{t_*} \int_0^{t_*} U'(t_s + (i-1)t_* + t_i + t_2) dt_2 \right\} \\ &= \frac{1}{t_*^2} \int_0^{t_*} dt_1 \int_0^{t_*} dt_2 \left\{ \frac{1}{n} \sum_{i=1}^n U'(t_s + (i-1)t_* + t_i) \cdot U'(t_s + (i-1)t_* + t_i + t_2) \right\} \\ &= \frac{1}{t_*^2} \int_0^{t_*} dt_1 \int_0^{t_*} dt_2 \overline{U'(t_s + t_i) \cdot U'(t_s + t_i + t_2)} = \frac{2}{t_*^2} \int_0^{t_*} dt_1 \int_0^{t_*} dt_2 \overline{U'(t_s + t_i) \cdot U'(t_s + t_i)} \end{aligned}$$

となる。ここで、 $t_2 - t_1 = \xi$ 、 $t_1 = t$ とおき、 $U'$ に関する Lagrange 相関関数  $R(\xi) = \frac{\overline{U(t_1)U(t_1+\xi)}}{\overline{U'^2}}$  を用いること、上式はつぎのようになる。

$$\overline{U'^2}_{mes} = \frac{2\overline{U'^2}}{t_*^2} \int_0^{t_*} dt \int_0^t d\xi R(\xi)$$

(b)

相関関数  $R(\xi)$  とし、 $R(\xi) = e^{-|\xi|/L}$  を用いた場合における  $\overline{U'^2}_{mes}/\overline{U'^2}$  と  $t_*$  の関係は図・3に示される通りである。

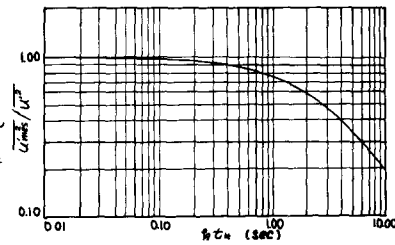
## 2. 回転式流速計の乱れに対する追隨性

回転式流速計の乱れに対する追隨性を調べるために、長方形断面の閉水路流れの中に、回転式流速計と差圧式流速計とを相互間の干渉がない程度に近づけて設置し、同時に乱れを測定した結果を図・4に示す。図・4に見られるように、本研究で用いた回転式流速計の乱れに対する追隨性はきわめて良好であるといえよう。

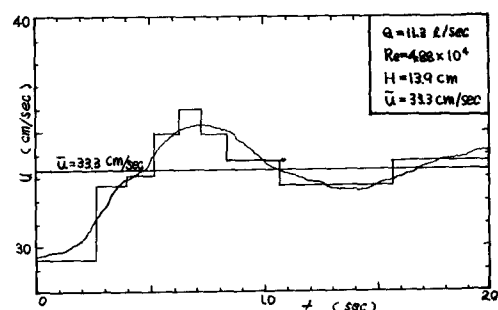
以上の結果、閉水路流れの乱れ計測用として回転式流速計を利用する方法は、種々の限界性を有するにもかかわらず、実用上においてかなりの有用性があるといえる。

## 参考文献

- 1) 石原, 村本: (第1報), 土木学会昭和37年度関西支部年次学術講演会講演概要, 昭37. 11.
- 2) 石原, 今本: (第2報), 土木学会第18回国年次学術講演会講演概要, 昭38. 5.



図・3



図・4